

- trioxide induce apoptosis in colorectal cancer cell line SW620 *Shijie Huaren Xiaohua Zazhi* 2001; 9: 228-229
- 28 Xu HY, Gao YY, Wu QL, Gao GQ, Yang YL, Chen SX, Liu TF. Proliferation inhibition and apoptosis induction by arsenic trioxide on human hepatoma cell line in vitro. *Shijie Huaren Xiaohua Zazhi* 2000;8:1233-1237
- 29 Chen H, Qin SK, Pang QS, Chen HY, Ma J. Antitumor effect of arsenic trioxide on mice experimental liver cancer. *Zhonghua Ganzangbing Zazhi* 2000; 8: 27-29
- 30 Chen HY, Liu WH, Qin SK. Induction of arsenic trioxide on apoptosis hepatocarcinoma cell lines. *Shijie Huaren Xiaohua Zazhi* 2000;8: 532-535
- 31 Yang YL, Xu HY, Gao YY, Wu QL, Gao GQ. Effects of arsenic trioxide on human hepatocarcinoma cell lines. *Shijie Huaren Xiaohua Zazhi* 2000; 8: 1422-1423
- 32 Wang JM, Zou Q, Zou SQ. The role of bcl-2 gene in apoptosis of liver in rat with obstructive jaundice. *Shijie Huaren Xiaohua Zazhi* 1999;7:1035-1037
- 33 Qiao Q, Wu JS, Zhang J, Ma QJ, Lai DN. Expression and significance of apoptosis related gene bcl-2 bax in human large intestine adenocarcinoma. *Shijie Huaren Xiaohua Zazhi* 1999;7:936-938
- 34 Liu HF, Liu WW, Fang DC, Men RP. Expression and significance of proapoptotic gene Bax in gastric carcinoma. *World J Gastroenterol* 1999; 5:15-17
- 35 Zhu ZH, Xia ZS, He SG. The effects of ATRA and 5-Fu on telomerase activity and cell growth of gastric cancer cells in vitro. *Shijie Huaren Xiaohua Zazhi* 2000;8:669-673
- 36 Meng ZQ, Yu EX, Song MZ. Inhibition of telomerase activity of human liver cancer cell SMMC-7721 by chemotherapeutic drugs. *Shijie Huaren Xiaohua Zazhi* 1999; 7: 252-254
- 37 Matthes E, Lehmann C. Telomerase protein rather than its RNA is the target of phosphorothioate-modified oligonucleotides. *Nucleic Acids Res* 1999;27:1152-1158
- 38 Huang C, Ma W, Li J, Dong Z. Arsenic induces apoptosis through a c-jun NH2-terminal kinase-dependent, p53-independent pathway. *Cancer Res* 1999; 59: 3053-3058
- 39 Li YM, Broome JD. Arsenic targets tubulins to induce apoptosis in myeloid leukemia cells. *Cancer Res* 1999; 59: 776-780

• 病例报告 •

腹股沟斜疝术后横结肠扭转 1 例

童卫东, 刘宝华, 张连阳, 雷英, 陆垠

童卫东, 刘宝华, 张连阳, 中国人民解放军第三军医大学大坪医院普外科 重庆市 400042
项目负责人: 童卫东, 400042, 重庆市大坪长江支路 10 号, 中国人民解放军第三军医大学大坪医院普外科. vdtong@hotmail.com
电话: 023-68757248
收稿日期: 2002-11-19 接受日期: 2002-11-29

摘要

报告 1 例罕见的腹股沟斜疝手术后并发横结肠扭转, 以期引起同道们的注意, 分析其可能的发生原因。全面汇报该例患者病历资料及其诊疗过程, 并附上典型的钡灌肠影像学图片 1 张。Medline 检索有类似病例, 分析发生的可能原因。腹股沟疝手术后并发结肠扭转至今国内外未见报道, 原因不明, 治疗上应尽量采用肠镜复位等保守的方法。

童卫东, 刘宝华, 张连阳, 雷英, 陆垠. 腹股沟斜疝术后横结肠扭转 1 例. 世界华人消化杂志 2003;11(3):267
<http://www.wjgnet.com/1009-3079/11/267.htm>

1 病例报告

患者男, 45 岁, 因发现右侧腹股沟区可复性包块 7 a 以“右侧腹股沟斜疝”收入院。平素无腹痛、便秘等不适, 大便 1-2 次/d。查体: 一般状况好, 心肺(-)。腹平, 未见肠型, 右腹股沟区可见 6 × 7 cm 大小隆起, 表面皮肤正常, 界限清楚, 质地软, 无压痛, 可还纳入腹腔, 还纳后压迫内环口咳嗽不再突出。全腹无压痛, 未触及包块, 肝脾未触及, 移动性浊音(-), 肠鸣音正常。血 WBC $5.0 \times 10^9/L$, RBC $4.62 \times 10^{12}/L$, HGB 139 g/L, 尿便常规正常, 肝功能正常。胸片及腹部 B 超正常。经术前准备择期行“右腹股沟斜疝修补术(Bassini 法)”。术后第 3 天肛门不排气, 诉腹痛、腹胀。听诊肠鸣音 4-5 次/min, 无明显高调音。予持续胃肠减压, 口服大承气汤, 新斯的明肌注足三里等效果不明显, 并出现

阵发性腹痛, 查体见腹部膨隆, 轻压痛, 肠鸣音亢进, 有高调音。术后第 5 天检查腹部平片提示低位小肠梗阻, 钡灌肠见横结肠右段扭曲呈“鸟嘴样”形成狭窄, 钡剂不能通过, 提示良性狭窄(图 1)。急诊行肠镜检查, 入 50 cm, 见横结肠近肝曲处肠腔明显扭曲, 肠腔闭塞不能通过镜身, 边充气边缓慢尝试前进, 镜身穿过扭曲部位后见升结肠明显扩张, 吸出大量气体和液体, 患者即刻感到腹胀明显缓解。继续进镜达回肠末段, 观察全大肠未见器质性疾病, 诊断: 横结肠扭转。术后第 7 天痊愈出院。

2 讨论

查阅国内外文献, 腹股沟疝术后发生结肠扭转未见报道, 本例实属罕见。结肠扭转一般为沿系膜轴的顺时针或逆时针扭转, 但本例从钡灌肠图像(图 1)看, 扭转是沿肠管纵轴的扭曲, 而非通常所见的沿系膜轴扭转。患者术后卧床休息期间、无身体突然转动等诱发因素, 且术前常规灌肠, 大肠处于空虚状态。分析其发生的原因可能有以下几点: (1) 术前精神紧张、麻醉等因素造成结肠神经功能紊乱, 局部肠管的不协调运动导致肠管扭曲; (2) 术中缝合结扎内环口时腹膜牵拉过度, 引起结肠反射性反常收缩。

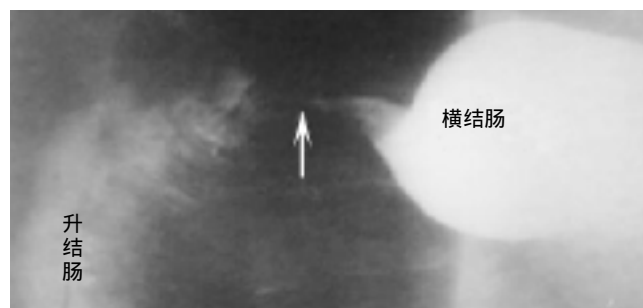


图 1 横结肠近肝曲处扭转()